

تحديد عامل التركيب البنيوي للمركب كوبالت زنك فرايت وتيتنات الباريوم باستخدام XRD

رواء سليم*
الدكتور بدر الأعرج**
الدكتور لؤي محمد***

(تاريخ الإيداع 2 / 7 / 2013. قُبل للنشر في 24 / 9 / 2013)

□ ملخص □

تم تحضير المركب $(1-x)\text{Co}_{0.6}\text{Zn}_{0.4}\text{Fe}_2\text{O}_4 / (x)\text{BaTiO}_3$ ($x = 0, 0.25, 0.75, 1$) المكون من طور فرايت (كوبالت - زنك) وطور تيتنات الباريوم بالطريقة السيراميكية المألوفة. وبعد ذلك أخذ طيف حيود أشعة - X لهذه العينة. ولإيجاد الشدات النسبية لخطوط XRD تم تحديد البارامترات التالية: عامل التعددية P، عامل استقطاب لورنتس L_p ، عامل الامتصاص للعينة $A(\theta)$ ، وعامل الاهتزاز الحراري TF، ومن ثم حساب عامل التركيب البنيوي F_{hkl} .

الكلمات المفتاحية: المركب $\text{Co}_{0.6}\text{Zn}_{0.4}\text{Fe}_2\text{O}_4 - \text{BaTiO}_3$ ، حيود أشعة - X، عامل التركيب البنيوي F_{hkl} ، عامل التعددية P، عامل استقطاب لورنتس L_p .

* طالبة ماجستير - الجسم الصلب - قسم الفيزياء - كلية العلوم - جامعة تشرين - سورية.

** أستاذ - قسم الفيزياء - كلية العلوم - جامعة تشرين - سورية.

*** أستاذ مساعد - قسم الفيزياء - كلية العلوم - جامعة تشرين - سورية.

Determination of the Structure Factor of CoZn-Ferrite and Barium Titanate Using XRD

Rawa.a Sleem*
Dr. Badr Alaraj**
Dr. Louai Mohammad***

(Received 2 / 7 / 2013. Accepted 24 / 9 / 2013)

□ ABSTRACT □

System $(1-x)\text{Co}_{0.6}\text{Zn}_{0.4}\text{Fe}_2\text{O}_4/(x)\text{BaTiO}_3$ ($x = 0, 0.25, 0.75, 1$) were prepared by general ceramic method which consists of ferrite phase and barium titanate phase. Then, the X-ray diffraction patterns were taken for this sample. To determine the XRD- relative intensity, the following parameters should be estimated: multiplicity factor P , Lorentz-polarization factor L_P , absorption factor $A(\theta)$ and temperature vibration factor TF . After that, the structure factor F_{hkl} was calculated.

Keywords: $\text{Co}_{0.6}\text{Zn}_{0.4}\text{Fe}_2\text{O}_4 - \text{BaTiO}_3$ composite; X-ray diffraction; the structure factor F_{hkl} ; multiplicity factor P ; Lorentz-polarization factor L_P .

* Postgraduate Student. at Physics Department, Faculty of Science, Tishreen University, Syria.

** Professor at Physics Department, Faculty of Science, Tishreen University, Syria.

*** Associate Professor at Physics Department, Faculty of Science, Tishreen University, Syria.

مقدمة :

كما هو معروف في علم البلورات وحيود أشعة - X تسهم العوامل الآتية في شدة الأشعة المنعكسة عن المستوي البلوري : عامل البنية، عامل استقطاب لورنتس، عامل التعددية للمستوي البلوري، عامل الامتصاص وعامل الاهتزاز الحراري للبلورة، وثابت الجهاز K_0 لأنبوب أشعة - X [1, 2].

ينتج عامل التركيب عن ثلاثة أنواع من تشتت الأشعة السينية الواردة على بلورة ما هي : التشتت عن الإلكترونات - التشتت عن الذرة - التشتت عن البلورة (التشتت عن ذرات وحدة الخلية) [3]. يتبلور الفرايت في ثلاثة أنماط رئيسة هي: بنية السبيل - بنية الجارنيت - البنية السداسية. بنية السبيل : عبارة عن بنية مكعبية من النمط FCC مؤلفة من أيونات الأوكسجين تحتوي ضمنها على 96 موقعاً بينياً في وحدة الخلية المكعبية. تتوزع هذه المواقع البينية على 64 موقعاً رباعياً يكون مشغولاً منها فقط 8 جزيئات ، و32 موقعاً ثمانية يكون مشغولاً فقط بـ 16 جزيئة ، أي أن 24 موقعاً مشغولاً من المواقع 96 البينية [3,5]

■ شدة خط الانعكاس I_{hkl}

تتحلل شدة أشعة - X المنعكسة عن المستوي البلوري (hkl) إلى العوامل الآتية [1,3,6]:

$$I_{hkl} = K_0 \cdot |F|^2 \cdot P \cdot L_p \cdot A(\theta) \cdot TF(\theta) \cdot \frac{V_{ph}}{V_{cell}} \quad (1)$$

حيث $|F|^2$ عامل التركيب البلوري، P عامل التعددية أي يمثل عدد المستويات البلورية التي لها نفس المسافة الفاصلة d في البلورة [1, 9].

$$L_p = \frac{1 + \cos^2 2\theta}{\sin^2 \theta \cos \theta} \quad (2)$$

حيث: L_p عامل استقطاب لورنتس ، θ زاوية براغ ، $A(\theta)$ عامل الامتصاص ويؤدي دوراً بارزاً عند الورود المائل (مسار طويل)، وعند الزوايا الصغيرة، TF-عامل الحرارة ويصف تأثير الحركة الحرارية على شدة الانعكاس . وقد لوحظ تجريبياً مع زيادة درجة الحرارة تتناقص شدة الانعكاس .وتؤدي الاهتزازات الحرارية غير الدورية لمكونات الشبكة إلى تشتت غير مرئي لأشعة - X ، ويتناسب هذا العامل عكساً مع معامل الامتصاص الخطي μ للعينة، V_{ph} -حجم الطور المدروس من العينة، V_{cell} - حجم وحدة الخلية.

$$TF(\theta) = \exp[-B(T)(\sin \theta / \lambda)^2]$$

$$B(T) = 4\pi^2 \langle u^2 \rangle \quad (3)$$

حيث λ طول موجة أشعة - X ؛ $B(T) = 8\pi^2 \langle u^2 \rangle$ معامل Debye-Waller ، $\langle u^2 \rangle$

يمثل متوسط انزياح الذرات المهتزة في البلورة [3].

■ عامل التركيب البلوري Structure factor - $|F_{hkl}|^2$:

يعرّف عامل التركيب كما في العلاقة التالية :

$$F = \frac{\text{سعة الموجة المنعكسة عن جميع ذرات وحدة الخلية}}{\text{سعة الموجة المنعكسة عن إلكترونين ما}}$$

ولحساب عامل التركيب ينبغي معرفة عامل التشتت الذري f (عامل الشكل) [1]:

$$f = \frac{\text{سعة الدرجة المتكثفة عن ذرة واحدة}}{\text{سعة الدرجة المتكثفة عن الكثرين ما}}$$

يعطى f بالصيغة الآتية :

$$f = \sum_i f_i e^{-B \cdot \left(\frac{\sin \theta}{\lambda}\right)^2} + c$$

يبين الجدول 1 معاملات عامل التعددية للأنظمة البلورية [7] .

جدول 1: يتضمن قيم عامل التعددية P لمستويات البلورية حسب قرائن ميلر.

Cubic		hkl	hhl	hk0	hh0	hhh	h00
	P	48*	24	24*	12	8	6
Hexagonal		hk.l	hh.l	h0.l	hk.0	hh.0	h0.0
	P	24*	12*	12*	12*	6	6
Tetragonal		hkl	hhl	h0l	hk0	hh0	h00
	P	16*	8	8	8*	4	4
Orthorhombic		hkl	hk0	h0l	0kl	h00	0k0
	P	8	4	4	4	2	2
Monoclinic		hkl	h0l	0k0			
	P	4	2	2			
Triclinic		hkl					
	P	2					

أهمية البحث وأهدافه:

إن أهم كمية يمكن استنتاجها من قياسات شدة أشعة الحيود هي القيمة العددية لمعامل التركيب

Structure factor - $|F_{hkl}|$. والتناسب بين هذا العامل وشدة الأشعة المقاسة هي كالتالي

$|F| \propto \sqrt{I}$. ومن مخطط حيود أشعة - X نأخذ النسبة بين شدتي خطي انعكاس بحيث يتحقق الشرط التالي

لقرائن ميلر:

$h+k+l = \text{even}$, أي المجموع يساوي عدداً زوجياً .

ويمكن حسابها نظرياً بمعرفة أوضاع الذرات في الوحدة البنائية للبلورة . ومعاملات التركيب هذه هي أيضاً التي

تستخدم في حساب خرائط الكثافة الإلكترونية التي يمكن منها تعيين أماكن الذرات في البلورة .

طرائق البحث ومواده:

حضر مركب الفرايت $\text{Co}_{0.6}\text{Zn}_{0.4}\text{Fe}_2\text{O}_4$ باستخدام الطريقة السيراميكية، وذلك بخلط أكاسيد عالية النقاوة

من Fe_2O_3 ، ZnO ، CoO بالنسبة المولية المطلوبة . وبالطريقة نفسها تم تحضير مركب تيتانات الباريوم من

الأكسجين : BaO و TiO_2 . تخلط الأكاسيد جيدا" و تطحن إلى درجة عالية من النعومة . وبعد ذلك ، يضاف إليها ماء مقطر ثم توضع على خلاط مغناطيسي لمدة أربع ساعات ثم تجفف وتطحن مرة ثانية . توضع في جفنة خاصة ومن ثم تسخن المساحيق بشكل أولي في الفرن عند الدرجة $900\text{ }^\circ\text{C}$ لمدة أربع ساعات . ولتشكيل Composite أخذت نسب مئوية 25% ، 75% من كلا الطورين ثم خلط بعضها مع بعضها الآخر وطحنت جيدا ثم وضعت في الفرن للتسخين الأولي عند الدرجة $900\text{ }^\circ\text{C}$ لمدة أربع ساعات . وبعد ذلك وضعت المساحيق الناتجة في الفرن عند الدرجة $1100\text{ }^\circ\text{C}$ لمدة أربع ساعات للتسخين النهائي ثم تركت لتبرد إلى درجة حرارة الغرفة بمعدل هبوط $80\text{ }^\circ\text{C} / \text{h}$. لاختبار تشكل الطورين أخذت أطيف الحيود للعينات المحضرة باستخدام

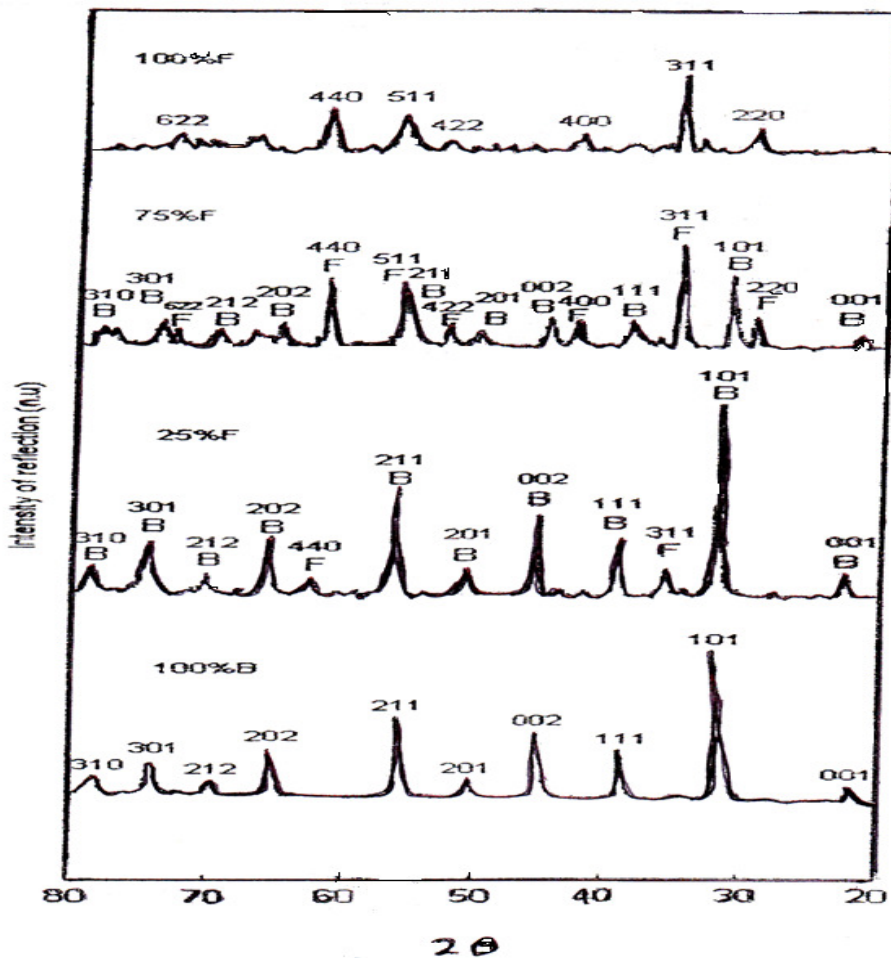
جهاز الحيود X-ray diffractometer XMD 300

الذي يعمل بإشعاع $Cu_{K\alpha}$ ($\lambda = 0.1541\text{ nm}$) .

النتائج والمناقشة:

1- أطيف الحيود

يبين الشكل 1 أطيف الحيود للعينات المحضرة . ونلاحظ في أطيف الحيود ل Composite وجود طور الفرايت و طور تيتانات الباريوم [8].



الشكل 1: نماذج الحيود **composite** ل (شدة خطوط الانعكاس بدلالة ضعف زاوية الحيود)

باستخدام قانون براغ التالي تم إيجاد المسافة بين المستويات البلورية d_{hkl} للنظام المكعبي والنظام رباعي الزوايا حيث h ، k ، و l قرائن ميلر. ويعبر عن الشدة بإرتفاعها.

$$2d_{hkl} \sin \theta = n \lambda ; n = 1$$

وتم تحديد قرائن ميلر الموافقة لكل قيمة d_{hkl} باستخدام بطاقات المعايير الأمريكية لاختبار المواد **ASTM** [9]. حدّد P من الجدول 1 حسب قرائن ميلر في نموذج الحيود، وعامل استقطاب لورنتس من العلاقة (2) وفق الزاوية المقابلة لكل خط انعكاس.

ويحسب معامل التركيب النسبي $|F_{hkl}|$ باستخدام الشدة النسبية كالتالي :

$$= \frac{|F_{hkl}|^2 \cdot P_{hkl} \cdot L_{hkl}}{|F_{hkl}|^2 \cdot P_{hkl} \cdot L_{hkl}} \cdot \frac{I_{hkl}}{I_{hkl}} \quad (6)$$

تم إيجاد شدة خط الانعكاس والمسافة بين المستويات البلورية لطور الفرايت وطور تيتانات الباريوم من نماذج الحيود شكل 1، وودّنت النتائج في الجدول 2.

جدول 2: يحتوي على قيم ، زاوية براغ، قرائن ميلر، المسافة البلورية، شدة خط الانعكاس ، عامل التعددية وعامل استقطاب لورنتس L_p لطور الفرايت وتيتانات الباريوم النقيين.

CoZn – ferrite phase					
2θ	(hkl)	d (Å)	I	P	L _p
30	220	2.97	15	12	27.45
42.50	400	2.12	10	6	12.63
62.50	440	1.48	27	12	5.27
52.5	422	1.74	7	24	7.83
BaTiO ₃ phase					
44.95	002	2.015	43	2	11.11
65.7	202	1.42	32	8	4.73

وتحسب الشدة النسبية ومعامل التركيب النسبي بين خطي انعكاس في طور الفرايت وطور تيتانات الباريوم من العلاقة (6). وسجلت النتائج في الجدول 3.

جدول 3: يحتوي على قيم الشدة النسبية ومعامل التركيب النسبي لطور الفرايت وتيتانات الباريوم النقيين.

CoZn – ferrite phase		
(hkl)	$I_{hkl} / I_{h'k'l'}$	$\frac{ F_{hkl} ^2}{ F_{h'k'l'} ^2}$
220/400	1.5	0.345
220/440	0.5	0.096
400/422	1.4	3.5
BaTiO ₃ phase		
002 /202	1.34	2.31

وباستخدام العلاقة (7) تم تحديد نسبة طور الفرايت C_F بالنسبة إلى طور تيتانات الباريوم من النسبة بين خط انعكاس الفرايت $F(311)$ إلى خط انعكاس $B(211)$ تيتانات الباريوم عند العينة $25\%F$ وذلك وفق العلاقة الآتية:

$$C_F = \frac{100 I_B}{1 + K \frac{I_B}{I_F}} \quad (7)$$

حيث $K=1.33$ ثابت معايرة جهاز XRD [10,11].

جدول 4: يحتوي على نسبة طور الفرايت بالنسبة إلى طور تيتانات الباريوم، وشدة خطي الانعكاس (311) (211) لكل من الفرايت وتيتانات الباريوم للعينة $25\%F$.

I_B	I_F	$C_F \%$
16	4	16

وبالتالي تكون نسبة تيتانات الباريوم $C_B = 84\%$.

الاستنتاجات والتوصيات :

- 1- يأخذ عامل التعددية للمستويات البلورية للفرايت وتيتانات الباريوم قيماً بين 24 - 2 ، ويعبر عن المستويات التي تسهم في الانعكاس في الموضع نفسه أو المكان .
- 2- يؤثر عامل استقطاب لورنتس في إضعاف الشدة حتى بلوغ الزاوية $2\theta = 50^\circ$ أي تناسب عكسي بين الشدة وهذا العامل ، وبعد هذه الزاوية ينعكس هذا السلوك ، فمن أجل الفرايت وتيتانات الباريوم النقيين يأخذ قيماً بين 27.45 - 5.27 ، 11.11 - 4.73 على الترتيب.
- 3- يتولد عامل البنية من تداخل الأمواج المشتتة عن نقاط وحدة الخلية . ويضعف هذا التداخل شدة الانعكاس حسب نوعه (بناء أو هدام) . ففي الفرايت النقي يأخذ قيماً في المجال 3.5-0.096 ، وعند تيتانات الباريوم يأخذ القيمة 2.31 .
- 4- وجدنا أن نسبة طور الفرايت بالنسبة إلى طور تيتانات الباريوم عند العينة $25\%F$ هي $C_F = 16\%$ ، وبالتالي تكون نسبة تيتانات الباريوم 84% .
- 5- ويمكننا متابعة هذا العمل في دراسة وتحديد العامل الذري (عامل الشكل) [12].

المراجع:

- [1] B.D.Cullity,1978 - , Elements of X-ray diffraction II Edition ,Addison-Wesley Pub.Co., ch.4.
- [2] S.K.Chatterjee,1999 - "X-ray diffraction – its theory and applications",PHI, CH.3.
- [3] W.H.Bragg,1915 - "the structure of the spinel group of crystals,"Phil.Mag.,vol.30, 305-312.
- [4] S.Krupick and P.Novak,1982 - "Ferromagnetic materials,"Vol .3North-Holand Publish Co.New York,ch.4
- [5] Ana Maria Rangel de Figueiredo Teixeira ,2006 - Investigation of sintered CoZn-Ferrite synthesized by coprecipitation at different temperatures, Material Research, v.g, N0.3.

- [6] HEMEDA O.M., ABD EL -ATI M. I., 2001 - Spectral studies of $Co_{0.6}Zn_{0.4}Mn_xFe_2O_4$.at different soaking times . Materials Letters, Vol. 51,p.42-47.
- [7] Christopher Hammond, 2009 – the basics of crystallography and diffraction, third edition, Oxford Science Publications, 207.
- [8] بدر الأعرج، عبد الرؤوف توفيق، 2010 – الدراسة الطيفية للمركب $(1-x)Co_{0.6}Zn_{0.4}Fe_2O_4/(x)BaTiO_3$ ، مجلة جامعة تشرين للبحوث والدراسات العلمية، مجلد 32، العدد 2.
- [9] Joint Committee on Powder Diffraction Standards, 1988 – powder diffraction data for education & training, JCPDS, USA.
- [10] Cullity B.D., 1959 - ,Elements of x-ray diffraction (Reading, mass: Addison Wesley).
- [11] K.E.Sickafus, j.M.Wills and N.W.Grimes, 1999 - "Structure of Spinel," J. Am.Ceram. Soc., vol.82, no.12, 3279-3292.
- [12] John J.Quinn, Kyung- Soo Yi, 2009 – solid state physics principles and modern applications, Springer- Verlag Berlin Heidelberg.